

格子球を穿ける Stokes 解 について

宇都宮大 教養部 増田秀行

(Masuda Hideyuki)

1. 目的

格子点  $n_1 a_1 + n_2 a_2 + n_3 a_3$  (以下  $n a_i$  と略記) に中心を有する同一半径  $a$  の球を穿ける Stokes 流の基本的研究は H. Hasimoto (JFM 1959)<sup>1)</sup> である。今年に及ぶ Zick, Combs<sup>2)</sup> は流体力学方程式と積分方程式化して高い密度の場合に對しても抵抗を求めた。本研究は H. Hasimoto の設定した路線に基いて多重接近近似を遂行することと目標とする。境界条件は粘着条件を採用し、直角座標  $x, y, z$  の代りに球座標表示の  $r, \theta, \phi$  と用いる。後者はプログラム化しやすさの利点をもつ。

格子  $\{a_i\}$  の逆格子  $\{b_i\}$  によつて定まる格子点  $k_1 b_1 + \dots + k_3 b_3$  は  $k_i$  と略記し、また  $V$  では格子点一個を含む単位胞の体積とする。

球は密着して“仮”と仮定する。

格子は立方晶系に属するものとする。

## 2. 基礎方程式とポテンシャル。

周期性の利用をしやすくするために球のしめる部分も流体できるように、かわりに球内には適当な周期的外力分布を仮定する。流速  $v$ , 圧力  $p$ , 粘性係数  $\mu$  と用 "41" Stokes 近似の方程式等は

$$\left\{ \begin{array}{l} \mu \Delta v = \text{grad } p + f, \quad \text{div } v = 0 \quad (\text{2.13 c.3}) \\ v|_{\text{表面}} = 0 \\ f = 0 \end{array} \right. \quad (\text{流体中}) \quad (1)$$

と仮定する。Fourier 級数に展開すれば  $v, \text{grad } p, f$  が周期的 distribution であるとの仮定のもとに周期的なポテンシャル  $g$  があり

$$\left\{ \begin{array}{l} \text{grad } p = -f_0 + \text{grad } \text{div } \Delta g \\ v = v_0 - \frac{1}{\mu} \{ \text{grad } \text{div } g - \Delta g \} \end{array} \right.$$

と表わされ、 $g$  は

$$\Delta \Delta g = f - f_0 \quad (2)$$

を満足することがわかる。  $v_0, f_0$  は  $v, f$  の Fourier 級数の定数項である。球 1 個の抵抗力を  $D$  とするときは

$$f_0 = D/a$$

と仮定する。(1), (2) から流体中の開微域では

$$\Delta \Delta g = -f_0$$

となり、 $g$  は流体中で解析的であると仮定する。

## 3 多重極近似の概論

重調和方程式の解は次のようにしての定理が成り立つ。

定理 1. 中心が原点にあり厚さ  $2\epsilon$  の厚さ  $2\epsilon$  の閉球殻  $S_{a,\epsilon}$   
 $= \{P : a \leq OP \leq b\}$  を含む開集合  $\Omega$  での定数  $f_0$  に対し

$$\Delta \Delta u = -f_0$$

と存在 distribution  $u$  は球面調和関数  $\Theta_2^m(\theta, \varphi)$  を用いて  
 $r \leq b$  の絶対一致収束し  $\Delta \Delta u_1 = -f_0$  と存在

$$u_1 = -f_0 r^2 / 120 + \sum_{l=0}^{\infty} \sum_{m=-l}^l (A_{l,m} r^2 + B_{l,m}) r^l \Theta_2^m(\theta, \varphi)$$

と、 $r \geq a$  の広義一致一致収束し  $\Delta \Delta u_2 = 0$  と存在

$$u_2 = \sum_{l=0}^{\infty} \sum_{m=-l}^l (C_{l,m} r^2 + D_{l,m}) r^{-(l+1)} \Theta_2^m(\theta, \varphi)$$

により  $S_{a,\epsilon}$  上で

$$u = u_1 + u_2$$

と表わすことができる。  $u_1$  は  $u$  の reg. p.,  $u_2$  は  $u$  の sing. p. と見なすことができる。

証明.  $\Delta \Delta$  が楕円型であるから  $u$  は実解析的であること。

球面上の  $C^\infty$  関数に対し球面展開が一致絶対収束であること。

と及び若干の不等式による。

定理 2.  $u$  が periodic であるとき  $\Delta \Delta u = -f_0$  と存在し

$f_0 = 0$  かつ  $u = 0$  が成り立つ。

定理 1 の  $u_1$  と  $u$  の reg. p.,  $u_2$  と  $u$  の sing. p. と見なすことができる。

環が密着している場合を考慮して  $u$  の  $l$  の  $u$  に対し

定理 1 の閉環形を考へることにしよう。ある一つの格子環  $P_2$  としその中心を原点とし、定理 1 の分解を考へ  $\text{ring } P_2$  と  $\mathcal{G}_{P_2}$  とする。解析的延張を考へることにより、べきの定理をさす。

「定理 3  $\mathcal{G}_{P_2} = 0$  ならば  $\mathcal{G}_j$  は流体中で定数となり  $f_0$  は  $e^{i\omega t}$  と存てこればよい。」

このことは  $f_0$  がより抵抗  $D$  をきめられた場合  $\mathcal{G}_{P_2}$  の  $\mathcal{G}_j$  全体が確定されることを意味する。 $\mathcal{G}_{P_2}$  の各成分と同じ型をもつ解とよせあつめること  $\mathcal{G}_j$  を定めようとするのが多重極近似で十分合理的根拠があると考えられる。

#### 4. 同期的多重極解

以下 球面調和関数は正規化してあるものとし

$$\mathcal{G}_l^m(\theta, \varphi) = \sqrt{\frac{2l+1}{4\pi} \frac{(l-m)!}{(l+m)!}} P_l^m(\cos\theta) e^{-im\varphi}$$

すなわち  $x = r \sin\theta \cos\varphi$ ,  $y = r \sin\theta \sin\varphi$ ,  $z = r \cos\theta$  とする。

すなわち、対応する球面調和関数を

$$Y_l^m(\Omega) = r^l \mathcal{G}_l^m(\theta, \varphi) = Y_l^m(x, y, z)$$

$D = \left( \frac{\partial}{\partial x}, \frac{\partial}{\partial y}, \frac{\partial}{\partial z} \right)$  を微分 operator とし  $\Omega \rightarrow D$  として

$$Y_l^m(D)$$

なる  $l$  次微分 operator を用いる。

このとき

$$Y_l^m(\Omega) = \frac{1}{2\pi i^{m+l}} \sqrt{\frac{2l+1}{4\pi} \frac{(l-m)!}{(l+m)!}} \int_0^{2\pi} (z + ix \cos u + iy \sin u)^l$$

$$\int_{-\infty}^{\infty} x e^{imx} dx \quad (1)$$

が成立する。<sup>3)</sup>

$$\text{「定理」} \quad Y_{\ell}^{(m)}(\mathbb{R}) \gamma^{\lambda} = 2^{\ell} (-1)^{\ell} \frac{\Gamma(\ell - \frac{\lambda}{2})}{\Gamma(-\frac{\lambda}{2})} \gamma^{\lambda - \ell} \mathcal{G}_{\ell}^{(m)}(0, \gamma)$$

が一般の  $\lambda$  に対して成立することは (1) を用いて容易に確かめられる。また  $u = -\frac{\gamma}{8\pi} \Rightarrow \Delta \Delta u = \delta(\pi)$  であるから周期性を考慮した重調和、調和方程式の基本解を求めよ  $Y_{\ell}^{(m)}(\mathbb{R})$  と呼ぶことは、所望の  $\text{sing. p.}$  とした解が得られるものと想像できる。

周期性のあるとき原始関数は常に存在するとはいふため重調方程式の基本解を定める方程式は

$$\Delta \Delta S = \sum_n \delta(\pi - n\alpha) - 1/\alpha \quad (2)$$

となる。この解は Fourier 級数として直接に書き表わせば

$$S = \frac{1}{2} \sum_{k \neq 0} \frac{1}{|2\pi k|^2} \exp(2\pi i k \cdot \pi) \quad (3)$$

となる。調和の場合とよく似た一般的存在取扱いをするため

$$S_{\lambda}(\pi) = \frac{1}{2} \sum_{k \neq 0} |2\pi k|^{\lambda} \exp(2\pi i k \cdot \pi) \quad (4)$$

は  $\lambda > 0$  と  $|\pi| \sim 0$  の近傍で具体的に定式を求めよとすることができる。

(4) の求和には適当な収束因子をつけ、Poisson 総和則を用いて  $\lambda > 0$  と解析接続し、その後  $\lambda$  収束因子を取り除く方針をとる。また Poisson の総和則は各階の導関数が急減小の場合にのみ用いるのが本則であるが、 $n$ 次元空間の場合

$n+1$  階の球面関数  $\varphi$  が連続で急減小な  $S$  に適用できるの  $z$ 、 $\varphi$  の場合  $z$  の定理を得る。

定理 5 
$$\sum_{k \in \mathbb{Z}} \varphi(k) = 2 \sum_n \tilde{\varphi}(n a)$$

ただし  $\varphi(z)$  は  $n$  階  $z$  の球面関数は連続・急減小で

$$\tilde{\varphi}(\eta) = \iiint e^{-2\pi i \xi \cdot \eta} \varphi(\xi) d^3 \xi$$

とすると

$$Y_\ell^m(\Omega) S_\lambda(\Omega, \varepsilon) = \sum_{k \neq 0} |2\pi k|^\lambda \exp(2\pi i k \varepsilon - \varepsilon |2\pi k|) Y_\ell^m(2\pi i k)$$

とあると  $\text{Re}(\lambda) \geq 5$  ならば  $\sum_{k \neq 0} |k|^\lambda = \sum_k |k|^\lambda = \frac{4\pi}{3}$  であるから

しかも定理 5 が用いられる。  $\tilde{\varphi}$  の計算には平面波の球面波分解、球面関数の加法定理等を用いて積分と遂行すると

$$\begin{aligned} \tilde{\varphi}(\eta) &= \frac{1}{2} \frac{2^{\lambda+\ell}}{|\varepsilon-\eta|^{\lambda+\ell+3}} \Theta_\ell^m(\theta, \varphi) (-1)^\ell \frac{1}{\pi^2} \\ &\times \left\{ \frac{\Gamma(\frac{\lambda+2\ell+3}{2}) \Gamma(\frac{1}{2})}{\Gamma(-\frac{\lambda}{2})} F\left(\frac{\lambda+2\ell+3}{2}, \frac{\lambda+2}{2}; \frac{1}{2}; -\frac{\varepsilon^2}{|\varepsilon-\eta|^2}\right) \right. \\ &\quad \left. + \frac{\varepsilon}{|\varepsilon-\eta|} \frac{\Gamma(\frac{\lambda+2\ell+4}{2}) \Gamma(-\frac{1}{2})}{\Gamma(-\frac{\lambda+1}{2})} F\left(\frac{\lambda+2\ell+4}{2}, \frac{\lambda+3}{2}; \frac{3}{2}; -\frac{\varepsilon^2}{|\varepsilon-\eta|^2}\right) \right\} \end{aligned}$$

$\theta, \varphi$  は  $\eta$  の方位角

とある。  $\varepsilon \downarrow 0$  を仮定して有意と仮定するに  $\lambda+\ell+3 > 3$

つまり  $\lambda+\ell > 0$  である。

定理 6  $\lambda+\ell > 0$  のとき

$$Y_\ell^m(\Omega) S_\lambda(\Omega) = \frac{2^{\lambda+\ell}}{\sqrt{\pi^3}} \frac{\Gamma(\frac{\lambda+2\ell+3}{2})}{\Gamma(-\frac{\lambda}{2})} \sum_n \frac{Y_\ell^m(\Omega - n a)}{|\varepsilon - n a|^{\lambda+2\ell+3}}$$

を得る。  $|a| \sim 0$  のときの  $\text{sing. p.}$  は明らかに所望の型として  
 なる。

しかし重調和:  $\lambda = -4$  のとき  $l = 0, 1, 2, 3, 4$  に対し  
 ては収束は不成功, 調和:  $\lambda = -2$  のとき  $l = 0, 1, 2$  に対して  
 も不成功である。種々試みたがこの場合は Heuristics の方  
 法によるより外に存か, ない。

収束因子と  $e^{-\varepsilon |2\pi k|}$  が  $e^{-|2\pi k|^2 \varepsilon}$  になる。

$$|2\pi k|^\lambda = \frac{1}{\Gamma(\frac{\lambda}{2})} \int_0^\infty \beta^{-\frac{\lambda}{2}-1} \exp(-\beta |2\pi k|^2) d\beta$$

と、

$$\int_0^\infty = \int_0^a + \int_a^\infty$$

と分解して同様の手計算をする。

$$\begin{aligned} \text{定理 7} \quad Y_\ell^m(\theta) S_\lambda(k) &= -\frac{1}{\ell} \frac{Y_0^0 \delta_{\ell, \ell}}{\Gamma(-\frac{\lambda}{2}+1)} \alpha^{-\frac{\lambda}{2}} + \frac{2^{\ell+\lambda}}{\Gamma(-\frac{\lambda}{2})} \frac{1}{\sqrt{\pi^3}} \\ &\times \sum_n Y_\ell^m(n\alpha - k) \frac{(-1)^\ell}{|\alpha - n\alpha|^{2\ell+\lambda+3}} \Gamma\left(\frac{\lambda+2\ell+3}{2}, \frac{|\alpha - n\alpha|^2}{4\alpha}\right) \\ &+ \frac{1}{\Gamma(-\frac{\lambda}{2})} \sum_{k \neq 0} Y_\ell^m(2\pi i k) e^{2\pi i k \cdot k} |2\pi k|^\lambda \Gamma\left(-\frac{\lambda}{2}, |2\pi k|^2 \alpha\right) \end{aligned}$$

ただし  $\Gamma(n, x)$  は不完全ガンマ関数で

$$\Gamma(n, x) = \Gamma(n) - \gamma(n, x) = x^{\frac{1}{2}(n-1)} e^{-\frac{x}{2}} W_{\frac{1}{2}(n-1), \frac{1}{2}n}(x)$$

を得る。この計算でも  $\lambda + \ell > 0$  のときは定理 6 と同じ結果と

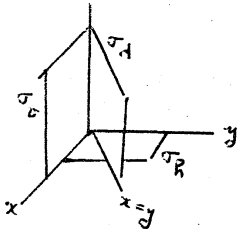
存す。  $\text{Re}(\lambda) + l \leq c$  の場合も  $\text{ring } p$  は  $\text{Re}(\lambda) + l > c$  のときと同じ。

∴  $m$  で多重極解の性質は決定できた。

格子が点群  $\mathbb{O}_h$  に対して不変な場合、  $S_\lambda(k)$  は  $\mathbb{O}_h$  に対して不変と存すことは Fourier 級数の形からわかる。点群の要素は直交変換であるから  $\mathbb{O}$  と  $k$  とは同じ変換の規則に従って点群に對しては  $Y_p^m(\mathbb{O}) S_\lambda(k)$  は  $Y_p^m(k)$  と同じく振る舞う、また  $S_\lambda(k)$  を球面数展開したときの  $\text{reg. } p$  は  $r^l$  の係数は  $\mathbb{O}_h$  の恒等表現の基と存する。そのための係数の計算はのちの節約することか可能である。

5. Potential 関数の対称性。

点群  $\mathbb{O}_h$  の要素のうち鏡影  $\sigma_v = zx$  面での鏡影,  $\sigma_d = (x=y)$



面での鏡影,  $\sigma_h = xy$  面での鏡影を取り上げる。ただし座標の原点はある球  $P$  の中心とがさねておく。問題の線型性から

$$f_0 = (0, 0, D/c)$$

の場合にとりば十分である。

解に最大の対称性と要求すると  $\sigma_v f_0 = f_0, \sigma_d f_0 = f_0,$

$\sigma_h f_0 = -f_0$  であるから 解は  $w_v, \sigma_d$  に対して不変,

従って  $w_v = (0, 0, V)$  と存す。ポテンシャル関数  $g = (g_x, g_y, g_z)$  が  $D=1$  のときの解と定めるとすると。

$$\begin{aligned} \sigma_v \text{不変性} \Rightarrow g_x(x, y, z) &= g_x(x, -y, z) \\ g_y(x, y, z) &= -g_y(x, -y, z) \end{aligned}$$



$$g_z(x, y, z) = g_z(x, -y, z)$$

$$\sigma_d \text{ 不変性} \Rightarrow \begin{cases} g_x(x, y, z) = g_y(y, x, z) \\ g_y(x, y, z) = g_x(y, x, z) \\ g_z(x, y, z) = g_z(y, x, z) \end{cases}$$

$$\sigma_R \text{ 不変性} \Rightarrow \begin{cases} g_x(x, y, z) = -g_x(x, y, -z) \\ g_y(x, y, z) = -g_y(x, y, -z) \\ g_z(x, y, z) = g_z(x, y, z) \end{cases}$$

が成立つと仮定できる。  $\sigma_R$  は  $\lambda \pi$  であるから  $\lambda = \pm 1$  である。

が  $Dg(x, y, z) = \sigma_R$  と仮定すると  $f_c = (0, 0, -D/\lambda)$  は  $\lambda \pi$  の解となることからわかる。

このとき  $g_x, g_y, g_z$  のはる関数空間  $\mathcal{R} = f(\mathcal{R}) = f(\mathcal{R}^{-1})$  はる関数形の表現と考へるとき  $g_x, g_y, g_z$  は

$$\sigma_v \circ (g_x, g_y, g_z) = (g_x, g_y, g_z) \begin{pmatrix} 1 & 0 & 0 \\ 0 & -1 & 0 \\ 0 & 0 & 1 \end{pmatrix}$$

$$\sigma_d \circ (g_x, g_y, g_z) = (g_x, g_y, g_z) \begin{pmatrix} 0 & 1 & 0 \\ 1 & 0 & 0 \\ 0 & 0 & 1 \end{pmatrix}$$

$$\sigma_R \circ (g_x, g_y, g_z) = (g_x, g_y, g_z) \begin{pmatrix} -1 & 0 & 0 \\ 0 & -1 & 0 \\ 0 & 0 & 1 \end{pmatrix}$$

関数形  $\mathcal{R}$  を表現する  $\mathcal{R}$  であることからわかる。  $\sigma_v, \sigma_d, \sigma_R$  は点群  $D_{4R}$  の生成元であるから  $g_x, g_y, g_z$  は  $D_{4R}$  の恒等表現の基

$g_x, g_y$  は組  $\mathcal{R}$  への  $\mathcal{R}$  の既約表現の基と仮定する。

$\{g_1, g_2, g_3\}$  は基底  $\mathbb{D}_{4R}$  と生成するから  $g_2$  は恒等表現と  
 $g_1, g_3$  は組になる。また  $\mathbb{D}_{4R}$  の二次元既約表現と与  
 えることがわかる。従ってそれらに属する  $\mathbb{D}_4^m(\mathbb{C}, \mathbb{C})$  の組合せ  
 である  $g_1, g_2, g_3$  の既約表現の基の成分に分解する手続き<sup>9)</sup> を

とすると  $S_\lambda(\mathbb{C})$  の  $\mathbb{D}_4(\supset \mathbb{D}_{4R})$  に対して不変である

$$g_2 \text{ は } \{Y_{2\ell}^{+4m}(\mathbb{D}) + Y_{2\ell}^{-4m}(\mathbb{D})\} S_\lambda(\mathbb{C}) \text{ の, 基 } g_2 = \frac{1}{\sqrt{2}}(g_{2+} + g_{2-})$$

$$\text{とすると } g_1 \text{ は } \{Y_{2\ell}^{+4m+1}(\mathbb{D}) S_\lambda(\mathbb{C})\} \text{ (複号同様)}$$

の一次結合であることがわかる。また  $g_1, g_2, g_3$  が実である  
 ためには結合の定数は実と取りなければならない。

c. Potential の有効成分

我々の問題とするのは  $\mathcal{G}$  の  $\mathbb{C}$  の基底  $v, p$  である。  
 2.  $v$  の  $\mathbb{C}$  関係から  $\mathcal{G}$  は

$$\mathcal{G} \rightarrow \mathcal{G} + \text{grad } \chi, \quad \Delta \Delta \chi = c \quad (\text{流体中})$$

と変換して  $v, \text{grad } p$  は変化はしない。また  $\mathcal{G}$  は対称

$\mathbb{D}_{4R}$  の特性を保存しようとする  $\chi$  は

$$T_0 \chi = T_4 \chi = -T_R \chi = \chi$$

を満足しなければならない。  $\chi$  は  $\mathbb{D}_{4R}$  に対してこの

特性を満足する一次元表現の基と取りなければならない。その手順

$$\text{は } \mathbb{C} \text{ 基底により } \chi \text{ は } \{Y_{2\ell+1}^{+4m}(\mathbb{D}) + Y_{2\ell+1}^{-4m}(\mathbb{D})\} S_\lambda(\mathbb{C})$$

の一次結合であるはず。この修正により  $g_2$  の  $2+c$  の成分

はゼロとかわかるとなることがわかる。よって



7. 速度の球関数成分

$v_{\pm} = \frac{1}{\sqrt{2}}(v_x \pm i v_y)$  とおき  $v_z, v_{\pm}$  をポテンシャル  $V$  から  $r$  と  $\theta$  の微分操作と  $Y_l^m(\theta)$  と用いて  $v_{\pm}$  と  $v_z$  をあらわす。

$$v_z = -\sqrt{\frac{4\pi}{15}} Y_2^{-1}(\theta) g_+ + \sqrt{\frac{4\pi}{15}} Y_2^1(\theta) g_- \\ - \frac{2}{3} \Delta g_z + 2\sqrt{\frac{4\pi}{45}} Y_2^0(\theta) g_z + V$$

$$v_{\pm} = -\frac{2}{3} \Delta g_{\pm} - \sqrt{\frac{4\pi}{45}} Y_2^0(\theta) g_{\pm} + \sqrt{\frac{8\pi}{15}} Y_2^2(\theta) g_{\mp} \\ \pm \sqrt{\frac{4\pi}{15}} Y_2^1(\theta) g_z. \quad (\text{複号同順})$$

とある。球関数成分と  $r$  と  $\theta$  の  $2$  個の  $Y_l^m(\theta)$  の積と  $Y_L^M(\theta) + r^2 Y_{L-2}^{M'} + \dots$  の型に展開すること、および  $Y_L^M(\theta) S_{\lambda}(\theta)$  と球関数に展開することが必要とある。そのために以下に  $3j$  の  $2j$  の定理が有用である。

定理 5)

$$\int_0^{2\pi} \int_0^{\pi} \Theta_{l_1}^{m_1}(\theta, \varphi) \Theta_{l_2}^{m_2}(\theta, \varphi) \Theta_{l_3}^{m_3}(\theta, \varphi) \sin \theta d\theta d\varphi \\ = \begin{cases} \frac{(2l_1+1)(2l_2+1)(2l_3+1)}{4\pi} \left\{ \begin{matrix} l_1 & l_2 & l_3 \\ 0 & 0 & 0 \end{matrix} \right\} \begin{pmatrix} l_1 & l_2 & l_3 \\ m_1 & m_2 & m_3 \end{pmatrix} \\ l_1 + l_2 + l_3 \equiv 0 \pmod{2} \text{ and } \\ m_1 + m_2 + m_3 = 0 \\ 0 \text{ otherwise} \end{cases}$$

$\left\{ \begin{matrix} j_1 & j_2 & j_3 \\ m_1 & m_2 & m_3 \end{matrix} \right\}$  は  $3-j$  symbol とよばれる量子力学で周知のものである。この定理の右辺と  $\begin{bmatrix} l_1 & l_2 & l_3 \\ m_1 & m_2 & m_3 \end{bmatrix}$  と記すと

容易に

定理 10  $Y_{\ell_1}^{m_1}(\kappa) Y_{\ell_2}^{m_2}(\kappa) = (-1)^{m_1+m_2} \left\{ \begin{matrix} \ell_1 & \ell_2 & \ell_1+\ell_2 \\ m_1 & m_2 & -m_1-m_2 \end{matrix} \right\} Y_{\ell_1+\ell_2}^{m_1+m_2}(\kappa)$   
 $+ \left\{ \begin{matrix} \ell_1 & \ell_2 & \ell_1+\ell_2-2 \\ m_1 & m_2 & -m_1-m_2 \end{matrix} \right\} r^2 Y_{\ell_1+\ell_2-2}^{m_1+m_2}(\kappa) + \dots \quad \Bigg\} \downarrow$

と得る。微分 operator  $\equiv \partial > \partial$  と  $\mp \equiv \partial \mp \partial$   $r^2 \partial \Delta \partial$  と得る。

定理 (Heisen)

$$Y_{\ell}^{m_1}(\mathbb{D}) + r^m Y_{\ell}^{m_2}(\kappa) \Big|_{\kappa=0} = \delta_{\ell, \ell_1} \delta_{m_1+m_2, c} \delta_{n, c} \frac{(-1)^m (2\ell)!}{(2\ell)!!} \quad \downarrow$$

と得る。  $v_x, v_y, v_z$  は  $\mathbb{D}_{4\ell}$   $\equiv \partial \pi \partial$   $\tau$   $g_x, g_y, g_z$  と同様に

振舞う。  $v_z$  は  $Y_{2\ell}^{4m} + Y_{2\ell}^{-4m}$   $v_+ = \frac{1}{\sqrt{2}}(v_x + i v_y)$  は  $Y_{2\ell}^{4m+1}$

の場合に得る。 相着条件は  $v_z = c, v_r = c$  及び  $\partial \tau + \text{c.c.}$  である。

から最終的に  $Y_{2\ell}^{4m}(\mathbb{D}) S_\lambda, Y_{2\ell}^{4m+1}(\mathbb{D}) S_\lambda$  の球関数成分を決定する。

$S_\lambda(\kappa)$  ( $\lambda = -4, -2$ ) は  $\mathbb{D}_4$   $\equiv \partial \pi \partial$   $\tau$  不変,  $L$  は  $\partial > \partial$   $\mathbb{D}_{4\ell}$

に  $\partial \pi \partial$   $\tau$  不変,  $(\partial \tau + \text{c.c.}) \Delta S_\lambda(\kappa) = -S_{\lambda+2}(\kappa)$  であるから

$$S_{-4}(\kappa) = -\frac{r}{5\pi} - \frac{r^4}{12c^2} + \sum_{\ell=0}^{\infty} \sum_{m=-\lfloor \ell/2 \rfloor}^{\lfloor \ell/2 \rfloor} \left( \frac{a_{\ell m}}{2(4\ell+3)} r^2 + b_{\ell m} \right) \sqrt{4\pi} Y_{2\ell}^{4m}(\kappa)$$

$$S_{-2}(\kappa) = \frac{1}{4\pi r} + \frac{r^2}{6c^2} + \sum_{\ell=0}^{\infty} \sum_{m=-\lfloor \ell/2 \rfloor}^{\lfloor \ell/2 \rfloor} (-a_{\ell m}) \sqrt{4\pi} Y_{2\ell}^{4m}(\kappa)$$

$$a_{\ell, m} = a_{\ell, -m}, \quad b_{\ell, m} = b_{\ell, -m}, \quad a_{\ell m} b_{\ell m} \text{ は 実}$$

と得る。  $\varepsilon = 0$  及び  $1 < L < \infty$

$$\sqrt{4\pi} Y_{2\ell}^{4m+\varepsilon}(\mathbb{D}) S_{-4}(\kappa) = \frac{1}{4\pi} \frac{(4\ell-3)!!}{2} \frac{\sqrt{4\pi} Y_{2\ell}^{4m+\varepsilon}(\kappa)}{r^{4\ell-1}}$$

$$+ \sum_{L=E}^{\infty} \sum_M \left( \frac{A_{2L, 4M+E; 2L, 4M+E} r^2}{2(4L+3)} + B_{2L, 4M+E; 2L, 4M+E} \right) Y_{2L}^{4M+E}(\kappa)$$

$$\sqrt{4\pi} Y_{2L}^{4M+E}(\mathbb{D}) S_{-2}(\kappa) = \frac{1}{4\pi} (4L-1)!! \frac{\sqrt{4\pi} Y_{2L}^{4M+E}(\kappa)}{r^{4L+1}}$$

$$- \sum_{L=E}^{\infty} \sum_M A_{2L, 4M+E; 2L, 4M+E} Y_{2L}^{4M+E}(\kappa)$$

と展開できることより明らかで、適当に  $Y_L^M(\mathbb{D})$  とは  $\lambda < 0$  として

regular part の  $\kappa = c$  での値と比較すれば Holman の定理より

係数  $A_{2L, 4M; 2L, 4M}$  等は  $a_{L,m}, b_{L,m}$  によって表わされる。

例として

$$B_{2L, 4M+1; 2L, 4M+1} = \sqrt{4\pi} \times$$

$$\left\{ \begin{aligned} & - \left[ \begin{matrix} 2L & 2L & 2(L+L) \\ -4M-1 & 4M+1 & 4(M-M) \end{matrix} \right] \frac{(4L+4L+1)! 4L!!}{(4L+1)! (4L+4L)!} b_{L+L, m-M} \\ & - \left[ \begin{matrix} 2L & 2L & 2(L+L-1) \\ -4M-1 & 4M+1 & 4(M-M) \end{matrix} \right] \frac{(4L+4L-3)! 4L!!}{(4L+1)! (4L+4L-4)!!} a_{L+L-1, m-M} \\ & + \left[ \begin{matrix} 2 & 2 & 0 \\ -1 & 1 & 0 \end{matrix} \right] \delta_{L,1} \delta_{L,1} \delta_{M,0} \delta_{m,0} \frac{1}{15} \frac{1}{2} \end{aligned} \right\}$$

等と存する。

すなわち  $a_{L,m}$  は

$$\begin{aligned} \text{Reg. p. } Y_{2L}^{-4M}(\mathbb{D}) S_{-2}(\kappa) \Big|_{\kappa=c} &= Y_{2L}^{-4M}(\mathbb{D}) \text{Reg. p. } S_{-2}(\kappa) \Big|_{\kappa=c} \\ &= \frac{4L!}{4L!!} (-a_{L,m}) = \frac{2^{2L-2}}{\sqrt{\pi}} \Gamma\left(\frac{4L-1}{2}\right) \sum_n \frac{Y_{2L}^{-4M}(n a_1)}{|n a_1|^{4L-1}} \end{aligned}$$

と計算できる。  $b_{L,m}$  も同様である。  $2L+\lambda \leq 0$  の場合も同様に

面倒には存する。

8. 境界条件によつて連立一次方程式

$$r = a \text{ のとき } u_z = 0, u_r = 0 \text{ 存しめらる。 } u_z, u_r$$

と球関数展開してその成分をゼロ存しめられよ。  $V$  と  $U$  とは点群  $D_{4h}$  に対して同じく振舞うので独立な球関数成分の数は球関数次数が偶数のときに限られその数は次表の通りと存る。

$l$	$2l$	$u_z$	$u_r$	計	
0	0	1	0	1	$-1 = 0$
1	2	1	1	2	
2	4	2	2	4	
3	6	2	3	5	
4	8	3	4	7	
...	...	...	...	...	
$l$	$2l$	$[\frac{l}{2}] + 1$	$l$	$[\frac{3l}{2}] + 1$	

$l=0$  のとき 1 を引いたのは  $\psi_0 = (c, 0, V)$  の  $V$  が未知数と存るからである。6. の表とくらべると同じ  $l$  の打ち上げの場合未知数  $A, C, B_{lm}, D_{lm}$  の数にくらべて条件の数が常に一つ足り不足する。この向の事情を判然とするため  $l=0, 1$  の場合の式を書き上げてみる。環の半径は  $a$  と書くとする。このとき  $r$  とし

$$u_z \Big|_{r=a} = 0 \text{ から}$$

$$\begin{aligned}
 uV &= A \left\{ \frac{2}{3} \left( \frac{1}{4\pi r} + \frac{r^2}{6a} - a_{1,c} \right) + \sqrt{\frac{4}{45}} \left( B_{2c,2c} + \frac{A_{2c,2c}}{14} r^2 \right) \right\} \\
 &+ C \left\{ -\frac{2}{3} \frac{1}{a} - \sqrt{\frac{4}{45}} A_{2c,2c} \right\} \\
 &+ B_{1,c} \left\{ \frac{-2}{7\sqrt{3}} A_{2c,2c} + \frac{2}{a} \right\} + \dots \quad (1)
 \end{aligned}$$

$$\begin{aligned}
 0 &= A \sqrt{\frac{4}{45}} \left\{ \frac{1}{5\pi r} + (-\sqrt{5} a_{1,c} + B_{2c,2c}) r^2 + \frac{1}{14} A_{2c,2c} r^4 \right\} \\
 &+ C \sqrt{\frac{4}{45}} \left\{ \frac{3}{4\pi r^3} - A_{2c,2c} r^2 \right\} \\
 &+ B_{1,c} \left\{ \frac{1}{12\sqrt{3}\pi} \frac{1}{r^3} - \frac{2}{a} + \frac{-2}{\sqrt{147}} A_{2c,2c} r^2 \right\} + \dots \quad (2)
 \end{aligned}$$

よって,  $u_r|_{r=a} = 0$  から (1)

$$\begin{aligned}
 0 &= A \frac{1}{\sqrt{15}} \left\{ \frac{1}{3\pi} \frac{1}{r} + B_{2,1,2,1} r^2 + \frac{1}{14} A_{21,21} r^4 \right\} \\
 &+ C \frac{1}{\sqrt{15}} \left\{ \frac{3}{4\pi r^3} - A_{21,21} r^2 \right\} \\
 &+ B_{1,c} \left\{ -(2 + \sqrt{\frac{3}{44}} - \sqrt{\frac{6}{44}}) \frac{1}{4\pi r^3} + \left( \frac{2}{3} + \sqrt{\frac{1}{147}} + \sqrt{\frac{2}{147}} \right) A_{21,21} \right\} \\
 &+ \dots \quad (3)
 \end{aligned}$$

よって, (1) は 0 次球関数成分から, (2), (3) は 2 次球関数成分

から得られる 4 個の係数がある。よって

$$\begin{aligned}
 A_{2c,2c} &= 18\sqrt{5} a_{1c}, & A_{21,21} &= 9\sqrt{5} a_{1c} \\
 A_{2c,cc} &= 15 a_{1c}, & B_{2c,cc} &= 15 b_{1c} \\
 B_{2c,2c} &= 53 b_{2c} + \frac{2\sqrt{5}}{7} a_{1c} - \frac{1}{15} \frac{1}{a} \\
 B_{21,21} &= -36 b_{2c} + \frac{\sqrt{5}}{7} a_{1c} + \frac{1}{15} \frac{1}{a}
 \end{aligned} \quad (4)$$

よって



$A$  は環のラゲル抵抗力に  $\alpha$  とし、格子間隔  $r_0$  に  $1/r$  と  
 $\alpha_{0,c}$ ,  $\beta_{0,c}$  は  $r_0$  に  $1/2$  と  $r_0$  の厚  $r$  の環の Stokes 解と  
 与えらるべきである。このとき (2) (3) は  $\sqrt{\frac{4}{45}}$ ,  $\sqrt{\frac{1}{15}}$   
 となり  $C = -\frac{1}{6} r^2 A$  とおけば (2) (3) が同時に満足され

(1) から  $c \pi \mu V = A =$  抵抗の Stokes の公式を得る。

単独環の場合条件の不足は条件式の縮退による厳密解が  
 得られなからである。これを換えて  $u_2$  成分のみに  $\tau_{12}$  の粘  
 着条件を満足させる。自動的に  $u_1, u_3$  の粘着条件が満足  
 されることになる。しかし格子間隔が有限のとき (2) と  
 (3) の形に類似は見られるが縮退は期待できぬ。

1 に対して  $C(r^2)$  での近似をすることにして

$C = -\frac{1}{6} r^2 A$  と用いる。Hasimoto の  $Q$  として

$$Q = \frac{c \pi \mu r V}{A} = 1 - (4\pi \alpha_{0,c} - 12\sqrt{5} \beta_{0,c}) r + \left( \frac{4\pi}{3} \frac{1}{r} + \frac{2c}{17} \sqrt{5} \pi \alpha_{0,c} \right) r^3 \quad (5)$$

となる。  $S_A(r)$  に対して  $D_{4\pi}$  不変性の条件を要求したため  
 $\alpha_{0,c}$ ,  $\beta_{0,c}$  が残存したが  $D_{4\pi}$  不変性を要求すると恒等表現の  
 中には 2 次の環関数が表われない (指標の計算が容易にわかる)  
 ため  $\alpha_{0,c} = \beta_{0,c} = c$  となり、また定義式から Hasimoto の  $C$   
 は  $4\pi \alpha_{0,c}$  となり (5) は Hasimoto の結果と完全に一致する。

## 9. 結び

多重極近似法は十分進歩をみたつもりであるが、条件式の不足をどう技術的に解消すればよいか最終的結論に達せなかつた。§. の (1), (2), (3) 式では短縮のため  $A_{2L, 4m; 2L, 4M}$  等が  $2L$ , または  $2L$  が  $4$  となるものを落してある。そのため  $D_{10}$  の項が脱落し、 $A=1$  とおけば (2), (3) から  $C, B_{10}$  がつまり (1) で  $V$  を決定できる形式と存している。しかし高次の場合これに相当する技法はうまくゆかぬ。この頁べきに注目する処理も試算したから目下の所調子がよくない。

多重極として  $Y_l^m(\theta) S_\lambda(\varphi)$  の代りに  $(\frac{\partial}{\partial x})^\alpha (\frac{\partial}{\partial y})^\beta (\frac{\partial}{\partial z})^\gamma S_\lambda(\varphi)$  と用いる計算は以前に実行したが、条件式の不足はあなれごとである。またこのときは複雑な漸化式が必要となり確信がもてなかつた。  $Y_l^m(\theta) S_\lambda(\varphi)$  と採用すると漸化式に相当するものは  $3-J$  symbol で代用できる。

計算には多少の忍耐が必要であった。その間相談相手と存して頂いた徳田尚之教授に感謝する。

本文中「定理」とのべた部分には筆者なりの証明をつけられた命題である。(2), (3), (5), (9)

$S_\lambda(\varphi)$  の  $\mathbb{O}_p$ -不変性を完全に利用するには  $\mathbb{O}_p$  の環関数による表現行列の成分が必要となる。成書に見当らぬが筆者の計算結果は文献 (10) にまとめられている。

## 文献

- 1) H. Hasimoto : J Fluid Mech. 5 (1959) pp. 317 ~ 323.
- 2) A.A. Zich and G.M. Homsy : J Fluid Mech 115 (1982) p.p. 13-16
- 3) E.T. Whittaker and G.N. Watson : Modern analysis, Cambridge (1935) p. 392
- 4) L.D. Landau and E.M. Lifshitz. Quantum Mechanics, Pergamon (1965) p. ~~168~~<sup>353</sup> (94.20)
- 5) E.U. Condon and H. Odabasi. Atomic Structure, Cambridge (1950) p. 168.
- 6) L. Hörmander : Linear Partial Differential Operators, Springer (1964) p. 178
- 7) Courant-Hilbert : Methods of Mathematical Physics, Interscience (1953) vol. I p. 513.
- 8) L. ニラルツ : 超関数の理論, 岩波 (1971).
- 9) 金子眞. 定数係数線型偏微分方程式, 岩波基礎数学講座 (1976)
- 10) H. Masuda: "Representation of the Point Group  $O_8$  by Spherical Harmonics", Bulletin of the Fac. Gen. Educ. UTsukuba Univ. No. 15 (to appear in Dec. 1982)